

Výpočet odstupových vzdáleností pro kritickou hustotu tepelného toku 18.5 kW/m^2

514

Výsledky:

Předpokládaná teplota požáru:	902.34 [°C]
Nejvyšší hustota tepelného toku (na povrchu sálavé plochy):	108.2 [kW/m ²]
Polohový faktor:	0.1707 [-]
Kritická hustota tepelného toku:	18.5 [kW/m ²]
Požadovaná odstupová vzdálenost (v přímém směru):	3.76 [m]
Max. odstup do stran (od okraje sálavé plochy):	2.17 [m]

Vstupní data:

Šířka:	3300	[mm]
Výška:	2800	[mm]
Celková emisivita:	1	[-]
Procento sálání:	100	[%]
Konstrukční systém objektu:	nehořlavý	
Výpočtové požární zatížení (nebo t_0):	45	[kg/m ²] / [minut]
Teplotní režim:	Normová teplotní křivka	



Výpočet odstupových vzdáleností pro kritickou hustotu tepelného toku 18.5 kW/m^2

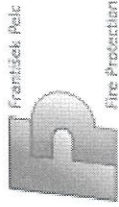
SEVER

Výsledky:

Předpokládaná teplota požáru:	902.34 [°C]
Nejvyšší hustota tepelného toku (na povrchu sálavé plochy):	108.2 [kW/m ²]
Polohový faktor:	0.1708 [-]
Kritická hustota tepelného toku:	18.5 [kW/m ²]
Požadovaná odstupová vzdálenost (v přímém směru):	2.49 [m]
Max. odstup do stran (od okraje sálavé plochy):	1.42 [m]

Vstupní data:

Šířka:	1500	[mm]
Výška:	2800	[mm]
Celková emisivita:	1	[-]
Procento sálání:	100	[%]
Konstrukční systém objektu:	nehořlavý	
Výpočtové požární zatížení (nebo t_0):	45	[kg/m ²] / [minut]
Teplotní režim:	Normová teplotní křivka	



Výpočet odstupových vzdáleností pro kritickou hustotu tepelného toku 18.5 kW/m^2

SEVER-GOLÁŘ

Výsledky:

Předpokládaná teplota požáru:	864.8 [°C]
Nejvyšší hustota tepelného toku (na povrchu sálavé plochy):	95.03 [kW/m ²]
Polohový faktor:	0.1937 [-]
Kritická hustota tepelného toku:	18.5 [kW/m ²]
Požadovaná odstupová vzdálenost (v přímém směru):	3.32 [m]
Max. odstup do stran (od okraje sálavé plochy):	1.89 [m]

Vstupní data:

Šířka:	3000	[mm]
Výška:	2800	[mm]
Celková emisivita:	1	[-]
Procento sálání:	100	[%]
Konstrukční systém objektu:	nehořlavý	
Výpočtové požární zatížení (nebo t_0):	35	[kg/m ²] / [minut]
Teplotní režim:	Normová teplotní křivka	



Výpočet odstupových vzdáleností pro kritickou hustotu tepelného toku 18.5 kW/m^2

VÝCHOZÍ A ZÁPAD

Výsledky:

Předpokládaná teplota požáru:	902.34 [°C]
Nejvyšší hustota tepelného toku (na povrchu sálavé plochy):	59.51 [kW/m ²]
Polohový faktor:	0.3102 [-]
Kritická hustota tepelného toku:	18.5 [kW/m ²]
Požadovaná odstupová vzdálenost (v přímém směru):	3.15 [m]
Max. odstup do stran (od okraje sálavé plochy):	1.54 [m]

Vstupní data:

Šířka:	11000	[mm]
Výška:	2200	[mm]
Celková emisivita:	1	[-]
Procento sálání:	55	[%]
Konstrukční systém objektu:	nehořlavý	
Výpočtové požární zatížení (nebo t_0):	45	[kg/m ²] / [minut]
Teplotní režim:	Normová teplotní křivka	



Výpočet odstupových vzdáleností pro kritickou hustotu tepelného toku 18.5 kW/m²

ZÁKLAD - PŘEDVÝPOČET

Výsledky:

Předpokládaná teplota požáru: **902.34** [°C]

Nejvyšší hustota tepelného toku (na povrchu sálavé plochy): **108.2** [kW/m²]

Polohový faktor: **0.1702** [-]

Kritická hustota tepelného toku: **18.5** [kW/m²]

Požadovaná odstupová vzdálenost (v přímém směru): **1.63** [m]

Max. odstup do stran (od okraje sálavé plochy): **0.83** [m]

Vstupní data:

Šířka: **5600** [mm]

Výška: **600** [mm]

Celková emisivita: **1** [-]

Procento sálání: **100** [%]

Konstrukční systém objektu: **nehořlavý**

Výpočtové požární zatížení (nebo t₀): **45** [kg/m²] / [minut]

Teplotní režim: **Normová teplotní křivka**